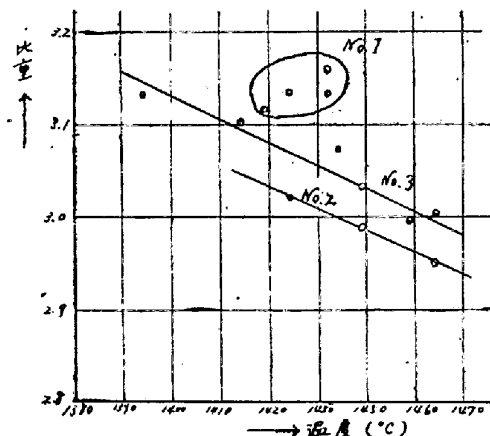


第 12 圖 $MnO \cdot CaO \cdot SiO_2$ の比電氣傳導度と溫度との關係



第 13 第 比重と溫度の關係

際の溫度變化に伴つて現はれて來ないことである。その爲に溫度變化は出來得る限り徐々に行ひ、又測定中數回白金・ロヂウム球を液中で上下に動かすようにした。第 13 圖は比重と溫度との關係を示す。融點から約 100°C 以内では比重の値がかなりばらつき 溫度と共に變化する模様がはつきり分らない。

VI. 結 言

- (1) Fayalite Tephroite 及び合成スラグ熔融状態で 12V の蓄電池を用ひて電解し、水冷後の各試料を化學處理した後ボラログラフ法にて分析した。
- (2) Fe^{++} は易動度が大きく、これは FeO を含むスラグの電導性の大きいことから一面の暗示を受け

る。

(3) $MnO-SiO_2$ 系の電氣傳導度を溫度と成分を變へて測定し、比電氣傳導度と絕對溫度の逆數は直線的關係にあることを確めた。

これから活性化エネルギーを求め、この値が成分によつて非常に異なり、スラグの構造を考へる上有力な手掛をあたへるものであることが考へられる。

(4) $MnO \cdot CaO \cdot SiO_2$ の比電氣傳導度を測定し、これと $FeO \cdot CaO \cdot SiO_2$ のそれを比較することにより MnO と FeO の差異を論じた。

(5) $CaO-SiO_2-Al_2O_3$ 系の比重を熱天秤を用ひて測定した。

本實驗を行ふに當つての學生若林專三君の助力に對し謝意を表す。(昭 24, 2 月寄稿)

文 献

- (1) 松下、田坂：鐵と鋼，33 (1947) 1~3,2
- (2) 松下：日本金屬學會誌，11 (1948) 11~12,23
- (3) 松下、森：鐵と鋼，34 (1948) 12,1
- (4) A. Wejnarth: T. A. Electrochim. Soc. 65 (1937) 177
- (5) A. E. Martin, G. Derge: Trans. A.I.M.E. 154 (1943) 105.
- (6) 松浦：鐵と鋼，29 (1943) 508
- (7) 松浦：鐵と鋼，29 (1943) 496

日鐵輪西仲町 熔鑄爐調査概要 (II) 正誤表

第 35 年 第 12 號

頁	列	行	誤	正
2	後	下より 7	直接的	直線的
2	前	下より 2	以下 2.5 mm	以下約 2.5m
3	同	第 3 圖	爐中心からの距離	爐中心からの距離 m
3	後	上より 17	×型と名付けた	×型と名付けた
8	前	第 19 圖	D 符號ナシ	